

## IDENTIFIKACIJA STABILNIH TAČAKA U TRODIMENZIONALNIM GEODETSKIM MREŽAMA METODOM TRANSLACIJE KOORDINATNOG SISTEMA

Ivan ALEKSIĆ — Beograd\*

### 1. UVOD

Teorijska i praktična primena metode identifikacije stabilnih tačaka translacijom koordinatnog sistema u 1-D i 2-D mrežama, detaljno je objašnjena u [1], [2], [3] i [4]. U ovom radu biće razmatrana primena navedene metode u 3-D mrežama.

### 2. PRIVIDNA POMERANJA TAČAKA

Kada su poznate prostorne koordinate tačaka u mreži, u prethodnoj epohi  $X_i, Y_i, Z_i$  i tekućoj  $X'_i, Y'_i, Z'_i$  određuje se prividna pomeranja tačaka u obliku

$$\begin{aligned} dX'_i &= X'_i - X_i \\ dY'_i &= Y'_i - Y_i \\ dZ'_i &= Z'_i - Z_i, \quad i = 1, 2, \dots, n \end{aligned} \quad (1)$$

gde je  $n$  broj svih tačaka u mreži. Prividno pomeranje nestabilnih tačaka možemo napisati i u obliku

$$\begin{aligned} dX'_i &= d_{kx} + dX_i + \varepsilon_i \\ dY'_i &= d_{ky} + dY_i + \varepsilon_i \\ dZ'_i &= d_{kz} + dZ_i + \varepsilon_i \end{aligned} \quad (2)$$

gde su:

- $d_{kx}, d_{ky}, d_{kz}$  pomeranja koordinatnog sistema,
- $dX_i, dY_i, dZ_i$  sopstvena pomeranja tačaka,
- $\varepsilon_i$  greške rezultata merenih veličina.

---

\* Mr. Ivan Aleksić, dipl. inž., Institut za geodeziju Građevinskog fakulteta u Beogradu, Bulevar revolucije 73.

Za stabilne tačke sledi

$$\begin{aligned} dX'_{si} &= X'_{si} - X_{si} = d_{kx} + dX_{si} + \varepsilon_i \\ dY'_{si} &= Y'_{si} - Y_{si} = d_{ky} + dY_{si} + \varepsilon_i \\ dZ'_{si} &= Z'_{si} - Z_{si} = d_{kz} + dZ_{si} + \varepsilon_i \end{aligned} \quad (3)$$

gde su  $dX_{si}$ ,  $dY_{si}$ ,  $dZ_{si}$  sopstvena pomeranja stabilnih tačaka. U opštem slučaju, kada je koordinatni sistem pomenen, matematička očekivanja privednih pomeranja tačaka su:

— za nestabilne tačke

$$M [dj'_i] = d_{kj} + dj_i + \varepsilon_i = d_{kj} + dj_i, \quad i = 1, 2, \dots, n \quad j = X, Y, Z$$

— za stabilne tačke

$$M [dj'_{si}] = d_{kj}$$

U specijalnom slučaju, kada koordinatni sistem nije pomenen važi

— za nestabilne tačke

$$M [dj'_i] = dj_i$$

— za stabilne

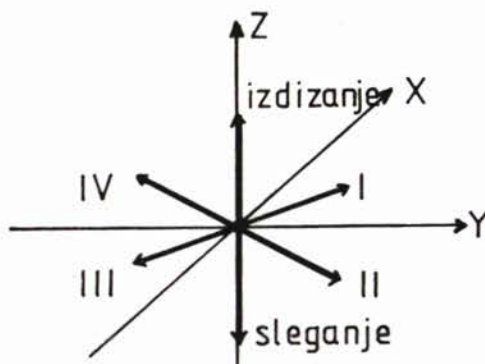
$$M [dj'_{si}] = 0, \quad i = 1, 2, \dots, n, \quad j = X, Y, Z.$$

### 3. OPŠTA TENDENCIJA POZNATA

Imajući u vidu teorijska razmatranja u 1-D i 2-D mrežama sledi da tačka u 3-D mreži može biti pomenena u okviru segmenata datih na sl. 1

Opšta tendencija je poznata, kada je ustanovljeno:

- sleganje ili izdizanje
- jedan od četiri segmenta.



Sl. 1. Segmenti pomeranja tačaka u 3-D mreži.

Odluka o najstabilnijoj tački se donosi na sledeći način:

A. tendencija sleganja

1. segment  $dX'_{\min}$ ,  $dY'_{\min}$ ,  $dZ'_{\max}$ ,

2. segment  $dX'_{\max}$ ,  $dY'_{\min}$ ,  $dZ'_{\max}$ ,

3. segment  $dX'_{\max}$ ,  $dY'_{\max}$ ,  $dZ'_{\max}$ ,

4. segment  $dX'_{\min}$ ,  $dY'_{\max}$ ,  $dZ'_{\max}$ ,

B. tendencija izdizanja

Za  $dX'$  i  $dY'$  važi kao u slučaju A. dok za Z osu odabira se vrednost  $dZ'_{\min}$  bez obzira na segmente. Kada je određena najstabilnija tačka, u odnosu na nju određuju se relativna pomeranja

$$\begin{aligned} dX_i &= dX'_i - dX'_{(\min/\max)} \\ dY_i &= dY'_i - dY'_{(\min/\max)} \\ dZ_i &= dZ'_i - dZ'_{(\min/\max)} \end{aligned} \quad (4)$$

Intenzitet prostornog vektora relativnih pomeranja je

$$d_i = \sqrt{dX_i^2 + dY_i^2 + dZ_i^2}$$

a smer u odnosu na X, Y i Z osu

$$\cos \alpha = dX_i / \pm d_i$$

$$\cos \beta = dY_i / \pm d_i$$

$$\cos \gamma = dZ_i / \pm d_i$$

#### 4. MATRICA KOFAKTORA RELATIVNIH POMERANJA

Kada je identifikovana najstabilnija tačka u mreži onda, relativna pomeranja u odnosu na nju mogu se napisati u obliku

$$dX_i = (X'_i - X'_s) - (X_i - X_s)$$

$$dY_i = (Y'_i - Y'_s) - (Y_i - Y_s)$$

$$dZ_i = (Z'_i - Z'_s) - (Z_i - Z_s), \quad i = 1, 2, \dots, n$$

ili

$$dX = B \cdot X' - B \cdot X$$

$$dY = B \cdot Y' - B \cdot Y$$

$$dZ = B \cdot Z' - B \cdot Z$$

Matrica B je identična za X, Y i Z osu i ima oblik

$$B_{nn} = \begin{bmatrix} 1 & 0 & \dots & -1 & \dots & 0 \\ 0 & 1 & \dots & -1 & \dots & 0 \\ \cdot & \cdot & & \cdot & & \cdot \\ \cdot & \cdot & & \cdot & & \cdot \\ \cdot & \cdot & & 0 & & \cdot \\ \cdot & \cdot & & \cdot & & \cdot \\ 0 & 0 & & -1 & & 1 \end{bmatrix}$$

Koeficijenti matrice B imaju značenje

- stabilna tačka  $B(i, j) = 0, i = j, i, j = 1, 2, \dots, n$   
 $B(i, j) = -1, i \neq j$
- nestabilna tačka  $B(i, j) = 1, i = j$   
 $B(i, j) = 0, i \neq j.$

Matrice kofaktora relativnih pomeranja tačaka u odnosu na najstabilniju tačku, po osama X, Y i Z su

$$Q_{dx} = 2 \cdot B \cdot Q_x \cdot B^T, \quad Q_{dy} = 2 \cdot B \cdot Q_y \cdot B^T, \quad Q_{dz} = 2 \cdot B \cdot Q_z \cdot B^T \quad (5)$$

gde je geometrija mreže ista u obe epohe. Kada u 3-D mreži postoji  $n_1$  stabilnih tačaka i  $n_2$  nestabilnih, onda analogno slučaju 1-D i 2-D mreža, matrica B ima strukturu

- stabilne tačke  $B(i, j) = (n_1 - 1)/n_1, i = j$   
 $B(i, j) = -1/n_1, i \neq j$
- nestabilne tačke  $B(i, j) = 1, i = j$   
 $B(i, j) = 0, i \neq j$

a matrice kofaktora relativnih pomeranja imaju oblik (5).

## 5. TESTIRANJE STABILNIH TAČAKA

Najstabilnija tačka u 3-D mreži identifikovana je ovom metodom sa verovatnoćom  $p = 1$ . Hipotetička stanja nastupaju kada se želi saznati da li pored ove tačke postoji još tačaka koje pripadaju skupu stabilnih tačaka u granicama tačnosti merenja. U tom cilju vrši se testiranje statističkih hipoteza:

- nulta  $H_0: M[dX] = 0, M[dY] = 0, M[dZ] = 0$
- alternativna  $H_a: M[dX] \neq 0, M[dY] \neq 0, M[dZ] \neq 0.$

Dalji postupak je identičan slučajevima 1-D i 2-D mreža.

## 6. POMERANJA U RAZLIČITIM PRAVCIMA

Pomeranja tačaka u prostoru, u opštem slučaju su različita po intenzitetu i smeru. U ovom slučaju posmatraju se vrednosti prividnih pomeranja  $dX'_i$ ,  $dY'_i$  i  $dZ'_i$ . Potrebno je uočiti one koje se grupišu u granicama tačnosti merenja oko neke vrednosti. Na osnovu  $n_1$  vrednosti prividnih pomeranja koja se grupišu određujemo srednje vrednosti

$$\overline{dX'} = (1/n_1) \cdot \sum_{i=1}^{n_1} dX'_i, \quad \overline{dY'} = (1/n_1) \cdot \sum_{i=1}^{n_1} dY'_i, \quad \overline{dZ'} = (1/n_1) \cdot \sum_{i=1}^{n_1} dZ'_i$$

Relativna pomeranja u odnosu na ovu fiktivnu stabilnu tačku su

$$dX_i = dX'_i - \overline{dX'}, \quad dY_i = dY'_i - \overline{dY'}, \quad dZ_i = dZ'_i - \overline{dZ'}$$

Određivanje intenziteta i smera vektora relativnih deformacija kao i testiranje statističkih hipoteza, analogno je slučajevima poznatih tendencija.

## 7. PRIMER IDENTIFIKACIJE STABILNIH TAČAKA U 3-D MREŽI

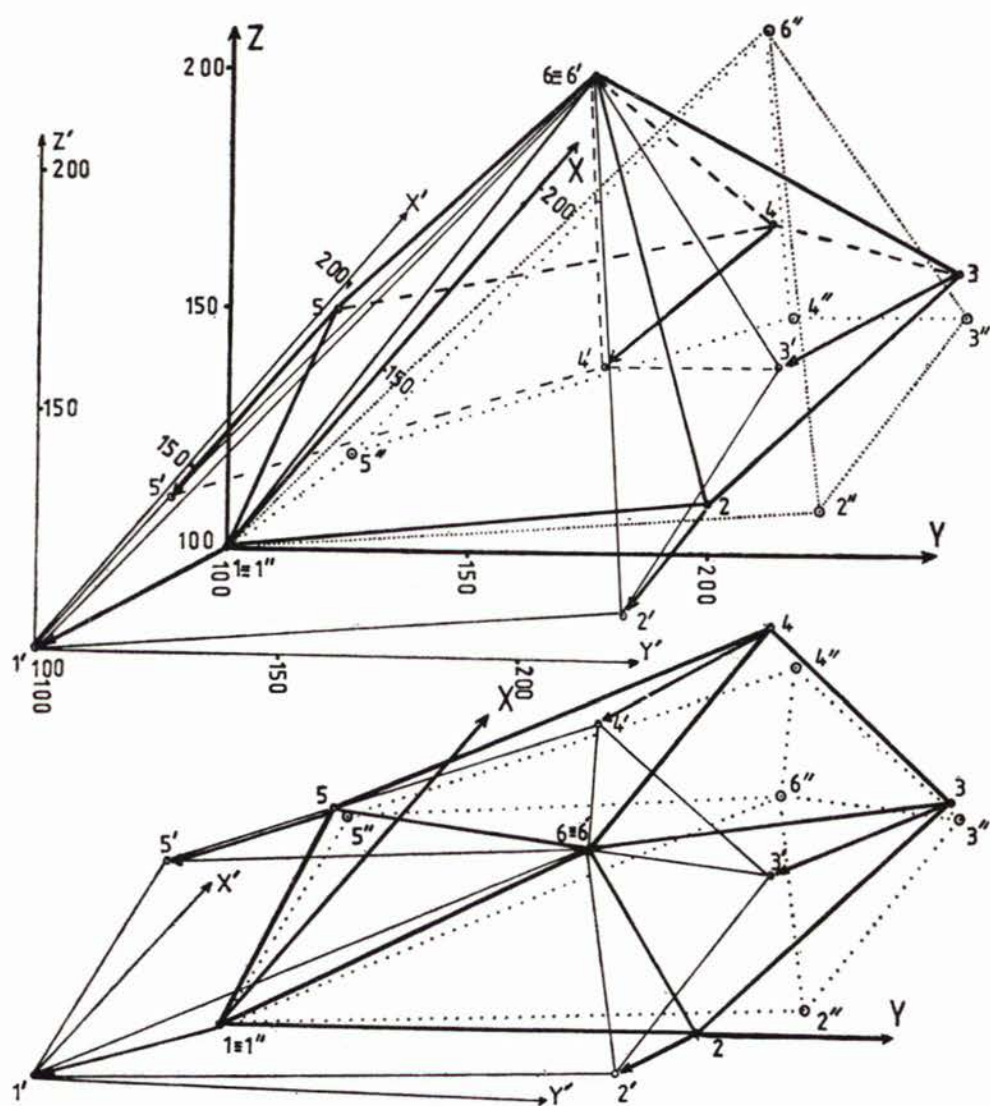
Radi ilustracije prethodnih razmatranja, identifikovaćemo najstabilniju tačku u 3-D mreži (sl. 2.). Tendencija tla u horizontalnoj ravni XOY je u trećem segmentu a po Z osi sleganje. Koordinate tačaka u 3-D mreži, u prethodnoj i narednoj epohi, kao i prividnih položaja su

Ti	X <sub>i</sub> ; Y <sub>i</sub> ; Z <sub>i</sub> prethodna epoha			X' <sub>i</sub> ; Y' <sub>i</sub> ; Z' <sub>i</sub> naredna epoha			X'' <sub>i</sub> ; X''' <sub>i</sub> ; Y'' <sub>i</sub> ; Z'' <sub>i</sub> prividni položaj		
	1	100	100	100	085	070	090	100	100
2	100	200	110	090	190	095	105	220	105
3	165	210	160	145	185	140	160	215	150
4	210	145	170	185	125	140	200	155	150
5	160	085	150	145	060	110	160	090	120
6	150	145	200	150	145	200	165	175	210

Prividna i relativna pomeranja tačaka su

Ti	dX' <sub>i</sub>	dY' <sub>i</sub>	dZ' <sub>i</sub>	dX <sub>i</sub>	dY <sub>i</sub>	dZ <sub>i</sub>
1	0	0	0	-15	-30	-10
2	5	20	-5	-10	-10	-15
3	-5	5	-10	-20	-25	-20
4	-10	10	-20	-25	-20	-30
5	0	5	-30	-15	-25	-40
6	15	30	10	0	0	0
$dX'_{\max} = 15, \quad dY'_{\max} = 30, \quad dZ'_{\max} = 10$						

a najstabilnija tačka broj 6.



Sl. 2. Prostorno pomeranje 3-D mreže.

